

Fig. 2.1.—Diagrama Zr/Ti-Nb/Y (4), para identificación de tipo de magma. Círculos corresponden a las rocas ígneas intrusivas del dominio Nevado-Filábride. Círculos llenos corresponden a las rocas intrusivas del dominio Subbético.

Figs. 2.2 y 2.3.—Diagramas de discriminación de ambiente geodinámico (5, 6). Mismos símbolos que en la figura anterior. En ambas figuras: B=Campo de proyección basaltos de fondos oceánicos; C=Campo de proyección de basaltos calcoalcalinos; D=Campo de proyección de basaltos intraplaca. En la figura 2.3: A=Basaltos subalcalinos de bajo K.

sea representativo de la existencia de una corteza oceánica, en el dominio paleogeográfico correspondiente a los materiales mesozoicos Nevado-Filábrides, como ha sido postulado por algunos autores (7, 8). Por el contrario, apoya el modelo propuesto por otros autores (9), según el cual se contempla a este magnetismo como generado en una zona de régimen transcurrente de componente tensional limitado, situada entre Iberia y Africa.

Proyecto subvencionado CAICYT-CSIC, número 2.461-2.

Referencias

1. Nijhuis, H. J. (1964): *These*. Amsterdam, 151 pp.
2. Van de Fliert, J. R.; Hebeda, E. H.; Priem, H. N. A.; Ol Smet, M. E. H., y Verdumen, E. A. T. (1980): *Bol. Inst. Geol. Min. España*.
3. Hebeda, E. H.; Boelrijk, N. A. I. M.; Priem, H. N. A.; Simón, O. J.; Verduzmen, E. A., y Verschue, R. M. (1975): *E.C.O.G. Italia*.
4. Floyd, P. A. y Winchester, J. A. (1978): *Chem. Geol.*, 21, 291-306.
5. Pearce, J. A. y Norry, M. J. (1979): *Contrib. Mineral. Petro.* 69, 33-47.
6. Pearce, J. A. y Cann, J. R. (1973): *Eath. Planet. Sci. Lett.*, 19, 290-300.
7. Puga, E. C.R. (1977): *Acad. Sc. París*, 285, 1379-1382.
8. Puga, E. y Díaz de Federico, A. (1984): *Info. Reun. Cient. Borde Mediterráneo Español*, 21-22.
9. Vegas, R. y Muñoz, M. (1984): *Congrs. Español Geol. III*, 105-118.

Recibido el 4 de septiembre de 1986
 Aceptado el 9 de septiembre de 1986
 Presentado en la Sesión Científica de Barcelona el 19 de septiembre de 1986

Génesis y evolución de la fosa de la Cerdanya (Pirineos Orientales)

E. Roca. Departament Geologia Dinàmica, Paleontologia i Geofísica, Universitat de Barcelona. Gran Vía, 585, 08007 Barcelona.
 P. Santanach. Departament Geologia Dinàmica, Paleontologia i Geofísica, Universitat de Barcelona. Gran Vía, 585, 08007 Barcelona.

ABSTRACT

The Cerdanya basin is located at the SW end of the Tet fault, in its NW block. Its formation, during the Upper Miocene, was conditioned by dextral slip of this fault and the normal slip of E-W trending faults that absorbed the movement of the former.

Roca, E. y Santanach, P (1986): Génesis y evolución de la fosa de la Cerdanya (Pirineos Orientales). *Geogaceta*, 1, 37-38.

Key words: Fault, basin, slip, Cerdanya.

La depresión de la Cerdanya es una fosa asimétrica que se sitúa en el bloque NW del extremo sudoccidental de la falla NE-SW de la Tet. La

formación y posterior evolución de la fosa viene condicionada, principalmente, por el movimiento dextrógiro de dicha falla y por el movimiento

normal de fallas orientadas E-W, que amortiguan el movimiento de ésta.

El movimiento dextrógiro de la falla de la Tet se evidencia por la

existencia de estrías de falla que indican este movimiento, así como, por la formación de pliegues de dirección NW-SE que afectan a los depósitos que rellenan la fosa; estos pliegues, que se amortiguan a medida que nos alejamos de la falla, en las proximidades de ésta presentan los flancos subverticales y una orientación cercana a N-S.

Durante el Mioceno superior (Depéret y Rérolle, 1885) y sincrónicamente al movimiento direccional de la falla de la Tet, tiene lugar el relleno sedimentario de la cuenca mediante depósitos de carácter detrítico que resultan de la interacción de procesos lacustres y aluviales. Este relleno se caracteriza, principalmente, por la formación de un lago profundo en las zonas más meridionales de la fosa; la localización del área fuerte de los elementos detríticos en el margen tectónicamente pasivo de la cuenca (margen septentrional), donde se desarrollan importantes conos aluviales; la existencia de un dominio de las paleocorrientes orientadas paralelamente (NE-SW) a la falla de la Tet, y una máxima subsidencia en las proximidades de dicha falla.

El carácter sintectónico del relleno, en relación al movimiento de las diversas fallas durante esta etapa, viene probado por la existencia de fallas E-W sinsedimentarias y de discordancias internas asociadas al movimiento de éstas, y por un diferente grado de subsidencia a lo largo de la fosa.

En una etapa posterior, Mioceno terminal (Golpe Posse, 1981), todas las fallas, incluida la de la Tet, actúan como fallas normales. Durante esta etapa finaliza el relleno sedimentario de la fosa mediante depósitos aluvia-

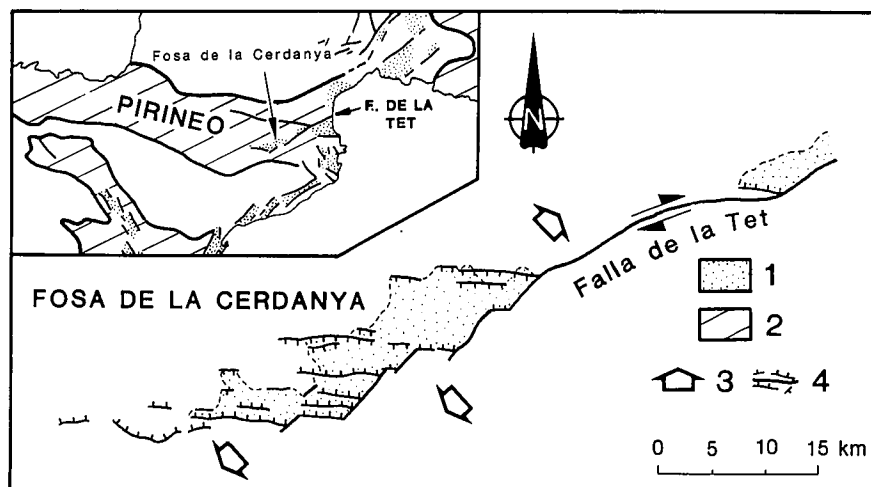


Fig. 1.—Estructura de la fosa de la Cerdanya resultante del movimiento dextrógiro de la falla de la Tet. 1: Depósitos neógenos. 2: Materiales deformados por la orogenia alpina. 3: Desplazamiento relativo de los bloques como consecuencia del movimiento de la falla de la Tet. 4: Fallas.

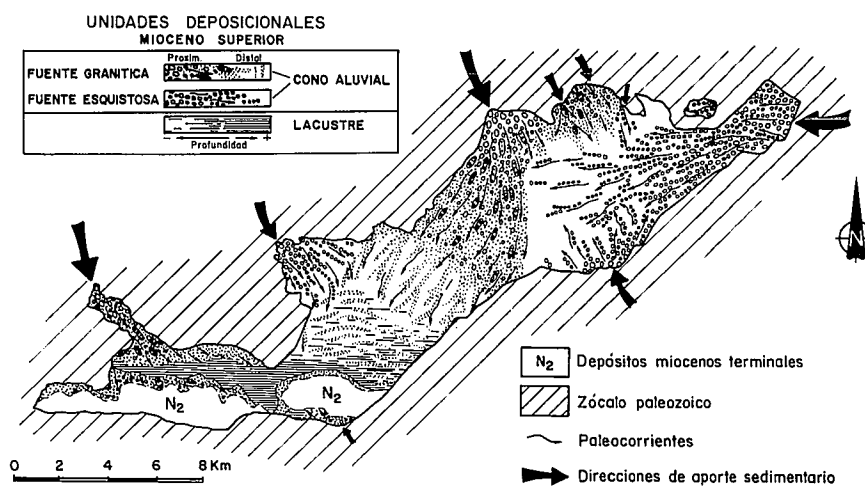


Fig. 2.—Modelo deposicional de la fosa de la Cerdanya durante el Mioceno superior.

les procedentes del margen meridional de la cuenca.

Golpe Posse, J. M. (1981): *Bol. Geol. y Min.*, XCII (2): 91-100.

Referencias

Depéret, Ch. y Rérolle, L. (1885): *Bull. soc. géol. France*, XIII: 488-506.

Recibido el 2 de septiembre de 1986
Aceptado el 9 de septiembre de 1986
Presentado a la Sesión Científica de
Barcelona el 19 de septiembre de 1986

Caracterización de las arcillas por el método del azul de metileno

C. Fernández Calvo. M.O.P.U. Demarcación de Carreteras de Castilla y León. 47071 Valladolid.
G. Martínez Bueno. M.O.P.U. Demarcación de Carreteras de Castilla y León. 47071 Valladolid.
J. Páez Martínez. M.O.P.U. Demarcación de Carreteras de Castilla y León. 47071 Valladolid.

ABSTRACT

This is a simple method for caracterisation of clays in soils and its relation with consistency limits. Has been checked by X-ray diffraction analysis.

Fernández Calvo, C.; Martínez Bueno, G., y Páez Martínez, J. (1986): Caracterización de las arcillas por el método del azul de metileno. *Geogaceta*, 1, 38-39.

Key words: Clays, caracterisation.